

# Технология и технологические машины

УДК 621.92-5

## Сравнительные экспериментальные исследования волнистости поверхности, шлифованной стандартным и разнозернистым шлифовальными кругами

**С.А. Багиров**

*Проведены экспериментальные исследования по ортогональному плану второго порядка для установления зависимости между геометрическими параметрами поверхности, шлифованной стандартным и разнозернистым кругами, и элементами режима шлифования: поперечной подачей, скоростью перемещения детали и подачей на глубину. Анализ коэффициентов регрессии полученной модели показал, что сосредоточение на рабочей поверхности разнозернистого шлифовального круга зерен различных номеров, начиная от грубого и кончая тонким, позволяет в одном технологическом переходе совмещать черновое, получистовое, чистовое и тонкое шлифование, что способствует улучшению геометрических параметров, в частности волнистости шлифованной поверхности.*

**Ключевые слова:** шлифование, ортогональный план второго порядка, шлифовальный круг разной зернистости, плоское шлифование, зернистость, волнистость.

**БАГИРОВ**  
Сахиб Абас оглы  
доцент кафедры  
«Технологические  
комплексы и специальная  
техника»  
(Азербайджанский  
технический университет)

*Experimental researches under the orthogonal plan of the second order for a dependence establishment between geometrical parameters of the surface processed with разнозернистым around and an element of a mode of processing are spent: cross-section giving, in the speed of moving of a detail and giving on depth. The analysis of factors of regress of the received model has shown that a concentration on a working surface of a differently-granular grinding circle of 5 numbers of granularity, beginning from rough and finishing thin, allows to combine in one technological transition: draught, semifair, fair and thin grinding that certainly leads to improvement of geometrical parameters of the processed surface.*

**Keywords:** the orthogonal plan of the second order, grinding circle of different granularity, flat grinding, granularity, sinuosity.

Выравнивание режущей способности рабочей поверхности шлифовального круга обеспечивается уменьшением зернистости каждой условной полосы в зависимости от числа их повторных контактов с уже срезанной поверхностью. В соответствии с предложенной методикой [1] для режущей фронтальной полосы разнозернистого шлифовального круга выбирают высокозернистые абразивы, а по мере удаления от нее зернистость убывает при соответствующем увеличении числа фактически работающих зерен для каждой условной полосы. При этом обеспечивается равномерное абразивное воздействие на обрабатываемую поверхность, а следовательно, высокая эффективность шлифования, путем уменьшения работы внешнего трения зерен и связки о поверхность металла.

Цель проведенных сравнительных экспериментальных исследований состояла в определении эмпирической зависимости волнистости от элементов режима резания при шлифовании стандартным и разнозернистым шлифовальными кругами.

Для проведения исследований был выбран ортогональный план второго порядка, что позволяет построить квадратичные модели. Отсеивающие исследования проведены на основе результатов теоретических исследований автора [1]. Решалась задача установления зависимости между геометрическими параметрами шлифованной поверхности и тремя элемента-

ми режима шлифования: поперечной подачей  $S_p$  (на двойной ход стола), скоростью перемещения детали  $V_d$  и подачей на глубину шлифования  $t$ .

На основе априорных данных о характере зависимости геометрических параметров шлифованной поверхности от параметров режима резания были определены основные уровни и интервалы варьирования факторов, комбинации которых дают наилучший результат (табл. 1).

Таблица 1

Интервал варьирования и уровни факторов

Уровни факторов	Обозначение уровней	Факторы			
		$S_p$ , мм/ход,	$V_d$ , м/мин,	$t$ , мм/ход,	
		$X_1$	$X_2$	$X_3$	
Основной	0	8	6	0,04	
Интервал варьирования	$\Delta$	4	3	0,02	
Верхний	+1	12	9	0,06	
Нижний	-1	4	3	0,02	
Звездные	Верхний	+1,215	12,86	9,645	0,0643
	Нижний	-1,215	3,14	2,355	0,0157

В качестве абразивного инструмента были выбраны обычный (по ГОСТ 2424—75) и разнозернистый шлифовальные круги прямого профиля типа ПП 300×40×76 с характеристикой 14A50СМ2К. Рабочая поверхность разнозернистого шлифовального круга состоит из пяти полос шириной по 8 мм. Зернистость фронтальной полосы соответствует номеру 50, а последующих — соответственно номерам 40, 32, 25, 16. Номера зернистости отдельных полос разнозернистого шлифовального круга были определены по методике, описанной в работе [1]. Для выправления геометрической формы и восстановления разнозернистости рабочей поверхности шлифовального круга использовалась правка методом врезания с применением специально изготовленного ролика на специальном правящем приспособлении. В качестве материала обрабатываемой детали была применена сталь 40Х с HRC 35. В качестве смазочно-охлаждающей жидкости использовался 3%-й раствор соды в воде. Эксперименты проводились на продольном плоскошлифовальном станке модели 3Б722 (табл. 2).

Таблица 2

Ортогональный план второго порядка  $k = 3$  с результатами исследований

$\nu$	$X_1$	$X_2$	$X_3$	$X_1$	$X_1$	$X_3$	$W_o$	$W_y$
1	—	—	—	4	3	0,02	1,14	0,68
2	+	—	—	12	9	0,02	2,07	1,18
3	—	+	—	4	9	0,02	1,99	1,38
4	+	+	—	12	9	0,02	3,42	2,18
5	—	—	+	4	3	0,06	2,44	1,58
6	+	—	+	12	3	0,06	3,97	2,43
7	—	+	+	4	9	0,06	3,89	2,68
8	+	+	+	12	9	0,06	5,42	3,48
9	-1,215	0	0	3,14	6	0,04	3,35	1,77
10	+1,215	0	0	12,86	6	0,04	3,91	2,38
11	0	-1,215	0	8	2,355	0,04	3,5	1,65
12	0	+1,215	0	8	9,645	0,04	4,87	2,5
13	0	0	-1,215	8	6	0,0157	2,81	1,53
14	0	0	+1,215	8	6	0,0643	4,65	2,63
15	0	0	0	8	6	0,04	3,17	2,08

Произведен расчет коэффициентов регрессии зависимости волнистости от элементов режима шлифования для поверхностей, шлифованных:

— стандартным кругом:

$$b'_0 = 3,373; b_1 = 0,55678; b_2 = 0,799;$$

$$b_3 = 0,852; b_{12} = 0,0625; b_{13} = 0,0875;$$

$$b_{23} = 0,0875; b_1^2 = 0,5135; b_2^2 = 0,546;$$

$$b_3^2 = 0,75257;$$

— разнозернистым кругом:

$$b'_0 = 2,0086; b_1 = 0,33686; b_2 = 0,4457;$$

$$b_3 = 0,5556; b_{12} = 0,031; b_{13} = 0,04375;$$

$$b_{23} = 0,05625; b_1^2 = 0,2948; b_2^2 = 0,39136;$$

$$b_3^2 = 0,48866.$$

Оценку коэффициента  $b_0$ , входящего в исходную модель, находили по формуле

$$b_0 = b'_0 - 0,7303(b_1^2 + b_2^2 + b_3^2).$$

При шлифовании разнозернистым кругом  $b_0 = 1,15$ , стандартным кругом —  $b_0 = 2,0496$ .

Математическая модель зависимости волнистости шлифованной поверхности от параметров режима шлифования в преобразованных переменных  $X_i$  будет:

— для стандартного круга:

$$Y = 2,0496 + 0,55687X_1 + 0,799X_2 +$$

$$+ 0,852X_3 + 0,0625X_1X_2 + 0,0875X_1X_3 +$$

$$+ 0,0875X_2X_3 + 0,5135X_1^2 + 0,546X_2^2 +$$

$$+ 0,75257X_3^2; \quad (1)$$

— для разнозернистого круга:

$$Y = 1,15 + 0,33686X_1 + 0,4457X_2 +$$

$$+ 0,5556X_3 + 0,031X_1X_2 + 0,04375X_1X_3 +$$

$$+ 0,05625X_2X_3 + 0,2949X_1^2 + 0,39136X_2^2 +$$

$$+ 0,48866X_3^2. \quad (2)$$

Для проверки достоверности полученных моделей проведено исследование ряда гипотез:

об однородности дисперсий, значимости коэффициентов регрессии и об адекватности модели.

Контроль правильности вычислений выполнен по формуле (203) в работе [2].

Для стандартного круга:

$$\sum_{v=1}^{15} \bar{Y}_v = 50,6; \quad \sum_{v=1}^{15} \bar{Y}_v = 50,76.$$

Для разнотернистого круга:

$$\sum_{v=1}^{15} \bar{Y}_v = 30,15; \quad \sum_{v=1}^{15} \bar{Y}_v = 29.$$

Таблица 3

Статистические данные результатов опытов при шлифовании стандартным кругом

Точки плана, $v$	$Y_1$	$Y_2$	$Y_3$	$\bar{Y}$	$S_v^2$	$\hat{Y}$	$(\bar{Y} - \hat{Y})^2$
1	0,76	2,04	0,62	1,14	0,6124	1,6	0,25
2	3,97	1,07	1,17	2,07	2,71	2,7	0,39
3	1,17	3,39	1,41	1,99	1,4844	2,27	0,078
4	2,3	5,04	2,92	3,42	2,0644	4,37	0,9
5	2,13	1,93	3,26	2,44	0,5143	2,65	0,04
6	6,09	2,85	2,97	3,97	3,3744	4,46	0,24
7	3,17	3,11	5,39	3,89	1,6924	3,66	0,053
8	7,12	4,32	4,82	5,42	2,23	6,08	0,4
9	2,73	2,57	4,75	3,35	1,4764	2,14	1,46
10	2,92	5,31	3,5	3,91	1,55	3,5	0,17
11	4,8	2,8	2,9	3,5	1,27	2,879	0,38
12	4,18	3,86	6,57	4,87	1,788	3,85	1,04
13	2,3	1,82	4,31	2,81	1,74	2,13	0,46
14	6,15	4,15	3,65	4,65	1,75	4,2	0,2
15	2,84	2,17	4,50	3,17	1,4389	2,23	0,88
				50,6	25,6956	50,76	6,888

Однородность дисперсий, характеризующих ошибку эксперимента по отдельным точкам, проверялась с помощью критерия Кохрена:

— для стандартного круга:

$$S^2 Y = 1,713;$$

— для разнотернистого круга:

$$S^2 Y = 0,8477.$$

Критерий Кохрена определяется отношением максимальной дисперсии к сумме всех дисперсий:

— для стандартного круга (табл. 3):

$$G = \frac{S_{v_{\max}}^2}{\sum S_v^2} = \frac{0,9164}{8,3638} = 0,109;$$

— для разнотернистого круга (табл. 4):

$$G = \frac{1,8475}{12,7162} = 0,145.$$

По таблице [3] находим  $f_{v_{\max}} = 2; f_{z_{\text{нам}}} = 15$  для степеней свободы и уровня значимости 5%-е критическое значение  $G_{kv} = 0,61; G < G_{kr}; 0,109 < 0,61; 0,145 < 0,61$ .

Таблица 4

Статистические данные результатов опытов при шлифовании разнотернистым кругом

Точки плана, $v$	$Y_1$	$Y_2$	$Y_3$	$Y_v$	$S_v^2$	$Y_v$	$(Y_v - \bar{Y}_v)^2$
1	0,36	1,2	0,48	0,68	0,2064	1,1	0,1764
2	2	0,76	0,78	1,18	0,5042	1,6	0,1764
3	2,3	1	0,9	1,4	0,61	1,8	0,16
4	1,18	1,66	3,7	2,18	1,7902	1,93	0,0625
5	1,18	2,78	0,78	1,58	1,12	2	0,1764
6	3,63	1,63	2,03	2,43	1,12	2,7	0,0729
7	2,18	2,08	3,78	2,68	0,91	2,97	0,084
8	4,68	2,68	3,08	3,48	1,12	3,3	0,0324
9	1,5	1,54	2,27	1,77	0,1879	1,176	0,353
10	1,78	3,38	1,98	2,38	0,76	1,986	0,155
11	1,25	0,85	2,85	1,65	1,12	1,18	0,22
12	2,3	2	3,2	2,5	0,39	2,2667	0,0529
13	1,33	2,13	1,13	1,53	0,28	1,1911	0,1148
14	4,13	1,48	2,28	2,63	1,8475	2,5411	0,0079
15	1,58	3,08	1,58	2,08	0,75	1,1446	0,3136
				30,15	12,7162	28,8855	2,1582

Проверку значимости каждого коэффициента проводили по  $t$ -критерию Стьюдента:

— для стандартного круга:

$$S^2 b_i = \frac{1,713}{n \cdot r} = \frac{1,713}{45} = 0,038, S b_i = 0,195;$$

— для разнoзернистого круга:

$$S^2 b_i = \frac{0,846}{45} = 0,0188, S b_i = 0,137.$$

Коэффициенты регрессии проверены на значимость:

— для стандартного круга:

$$t_0 = 2,0496 / 0,195 = 10,5; t_1 = 0,55687 / 0,195 = 2,8;$$

$$t_2 = 0,799 / 0,195 = 4,09; t_3 = 0,852 / 0,195 = 4,36;$$

$$t_{12} = 0,0625 / 0,195 = 0,32; t_{13} = 0,0875 / 0,195 = 0,45;$$

$$t_{23} = 0,0875 / 0,195 = 0,45; t_1^2 = 0,5135 / 0,195 = 2,6;$$

$$t_2^2 = 0,546 / 0,195 = 2,8; t_3^2 = 0,75257 / 0,195 = 3,8;$$

— для разнoзернистого круга:

$$t_0 = 1,15 / 0,137 = 8,4; t_1 = 0,33686 / 0,137 = 2,45;$$

$$t_2 = 0,4457 / 0,137 = 3,25; t_3 = 0,5556 / 0,137 = 4,055;$$

$$t_{12} = 0,031 / 0,137 = 0,22; t_{13} = 0,0433 / 0,137 = 0,31;$$

$$t_{23} = 0,05625 / 0,137 = 0,41; t_1^2 = 0,2949 / 0,137 = 2,15;$$

$$t_2^2 = 0,39136 / 0,137 = 2,86; t_3^2 = 0,48866 / 0,137 = 3,57.$$

Критические значения  $t_{kr}$  находили по таблице работы [3] при  $n(r-1) = 30$  степенях свободы и заданном уровне значимости  $\alpha = 5\%$ ,  $t_{kr} = 1,697$ . В рассматриваемом случае коэффициенты  $b_{12}$ ,  $b_{13}$ ,  $b_{23}$  моделей (1) и (2) являются незначимыми.

Математические модели, включающие только значимые коэффициенты:

— для стандартного круга:

$$Y = 2,0496 + 0,55687 X_1 + 0,799 X_2 +$$

$$+ 0,852 X_3 + 0,5135 X_1^2 + 0,546 X_2^2 +$$

$$+ 0,75257 X_3^2; \quad (3)$$

— для разнoзернистого круга:

$$Y = 1,15 + 0,33686 X_1 + 0,4457 X_2 +$$

$$+ 0,5556 X_3 + 0,2949 X_1^2 + 0,39136 X_2^2 +$$

$$+ 0,48866 X_3^2. \quad (4)$$

Для получения уравнения в натуральных значениях параметров режима шлифования  $S_p$ ,  $V_d$  и вместо  $X_i$  в уравнениях (1) и (2) подставили их значения из формулы преобразования.

Таким образом, математическая модель зависимости волнистости от параметров режима резания при шлифовании:

— для стандартного круга:

$$Y = 4,8819 - 0,3745 S_p - 0,4617 V_d -$$

$$- 107,9 t + 0,032 S_p^2 + 0,061 V_d^2 + 1881,3 t^2;$$

— для разнoзернистого круга:

$$Y = 3,697 - 0,2484 S_p - 0,4313 V_d -$$

$$- 79,95 t + 0,0184 S_p^2 + 0,0435 V_d^2 + 1221,65 t^2. \quad (6)$$

Полученные модели проверили на адекватность. Определили расчетные значения волнистости поверхности по полученным моделям для различных точек матрицы планирования:

— при шлифовании стандартным кругом:

$$\hat{Y}_1 = 1,65; \hat{Y}_2 = 2,754; \hat{Y}_3 = 3,276; \hat{Y}_4 = 4,376;$$

$$\hat{Y}_5 = 3,35; \hat{Y}_6 = 4,458; \hat{Y}_7 = 4,98; \hat{Y}_8 = 6,08;$$

$$\hat{Y}_9 = 2,14;$$

$$\hat{Y}_{10} = 3,478; \hat{Y}_{11} = 1,8789; \hat{Y}_{12} = 3,8489;$$

$$\hat{Y}_{13} = 2,1296; \hat{Y}_{14} = 4,2; \hat{Y}_{15} = 2,23;$$

— при шлифовании разнoзернистым кругом:

$$\hat{Y}_1 = 1,1; \hat{Y}_2 = 1,6; \hat{Y}_3 = 1,8336; \hat{Y}_4 = 1,929; \hat{Y}_5 = 2,02;$$

$$\hat{Y}_6 = 2,7; \hat{Y}_7 = 2,97; \hat{Y}_8 = 3,3; \hat{Y}_9 = 1,176;$$

$$\hat{Y}_{10} = 1,986; \hat{Y}_{11} = 1,18; \hat{Y}_{12} = 2,2667;$$

$$\hat{Y}_{13} = 1,191; \hat{Y}_{14} = 2,541; \hat{Y}_{15} = 1,146.$$

Определена дисперсия адекватности:

— при шлифовании стандартным кругом:

$$S_{ad}^2 = 2,583;$$

— при шлифовании разнoзернистым кругом:

$$S_{ad}^2 = 0,809; S_{ad}^2 = 0,809.$$

Определено соотношение между дисперсией адекватности и дисперсией воспроизводимости:

— при шлифовании стандартным кругом:

$$F = \frac{S_{ad}^2}{S^2(Y)} = \frac{2,583}{1,713} = 1,5;$$

— при шлифовании разнозернистым кругом:

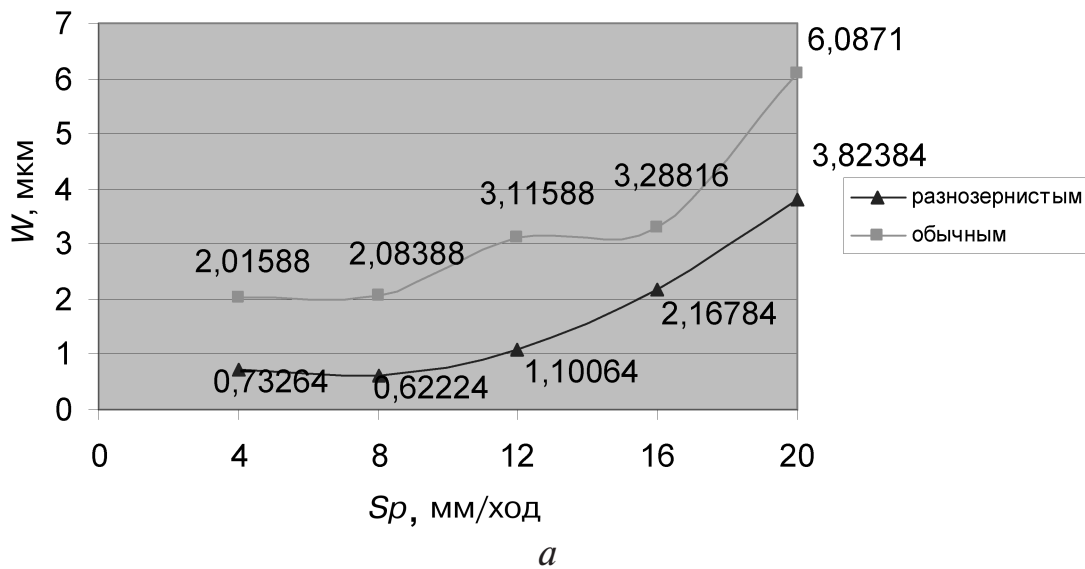
$$F = \frac{0,809}{0,8478} = 0,95.$$

Табличное значение критерия Фишера равно  $F_{kr} = 1,6$ . Поскольку  $F < F_{kr}$ , полученные модели являются адекватными реальным процессам.

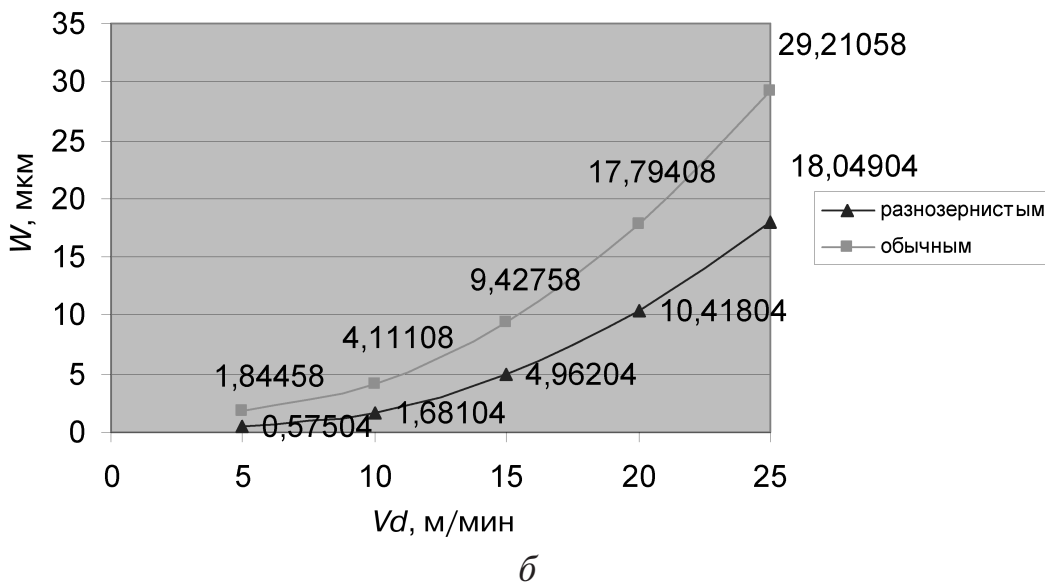
На основе полученных эмпирических моделей (4) и (5) построены графические зависимости  $W = \varphi(S_p)$ ,  $W = \varphi(V_d)$ ,  $W = \varphi(t)$ , представленные на рис. 1, а, б, в).

Анализ полученных моделей показывает, что при соответствующем подборе рационального сочетания элементов режима шлифования можно добиться уменьшения волнистости поверхности, шлифованной как стандартным, так и разнозернистым шлифовальным кругом.

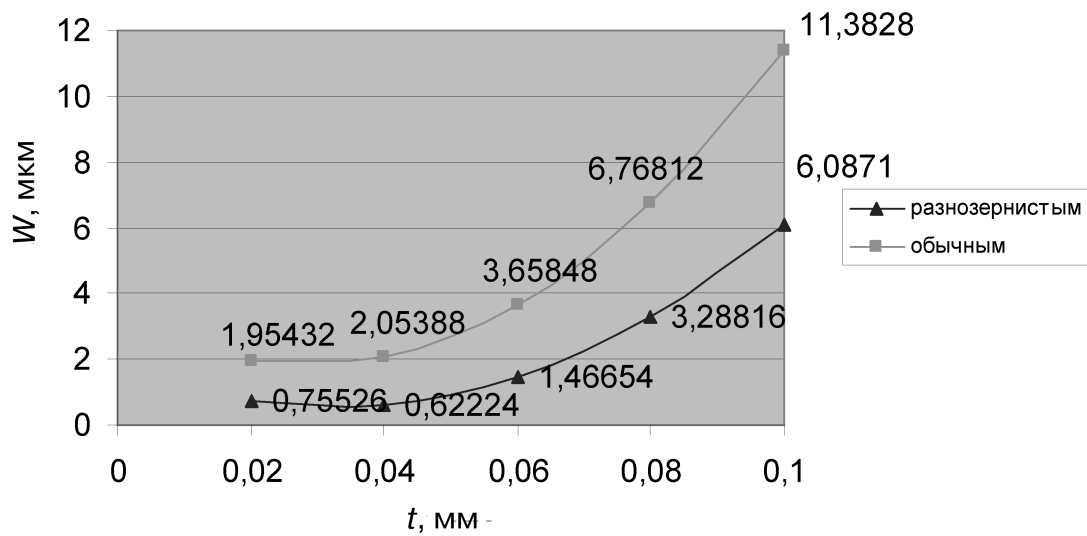
**Зависимости волнистости поверхности от поперечной подачи при шлифовании разнозернистым и обычным кругами**



**Зависимости волнистости поверхности от скорости детали при шлифовании разнозернистым и обычным кругами**



Зависимости волнистости поверхности от глубины резания при шлифовании разнородным и обычным кругами



в

Волнистость поверхности, шлифованной разнородным шлифовальным кругом, значительно ниже, чем волнистость поверхности, шлифованной стандартным кругом. Сосредоточение на рабочей поверхности разнородного шлифовального круга зерен различных номеров, начиная с грубого и кончая тонким, позволяет в одном технологическом переходе совмещать черновое, получистовое, чистовое и тонкое шлифование.

#### Список литературы

1. Гусейнов Г.А., Багиров С.А. Разнородный шлифовальный круг // Вестник машиностроения. 2009. № 7. С. 11–14.
2. Кацев П.Г. Статистические методы исследования режущего инструмента. М.: Машиностроение, 1974. 274 с.
3. Ивченко Г.И., Медведев Ю.И. Математическая статистика. М.: Высшая школа, 1984. 374 с.

Статья поступила в редакцию 10.11.2010 г.